

Lampiran A:



Gambar A.1 Titik masing-masing lokasi penelitian



Gambar A.2 Kondisi lokasi tampak dari sisi jalan



Gambar A.3 tata guna lahan lokasi penelitian dengan tanaman tebu



Gambar A.3 Saluran Irigasi



Gambar A.4 Pengambilan air untuk pengujian infiltrasi

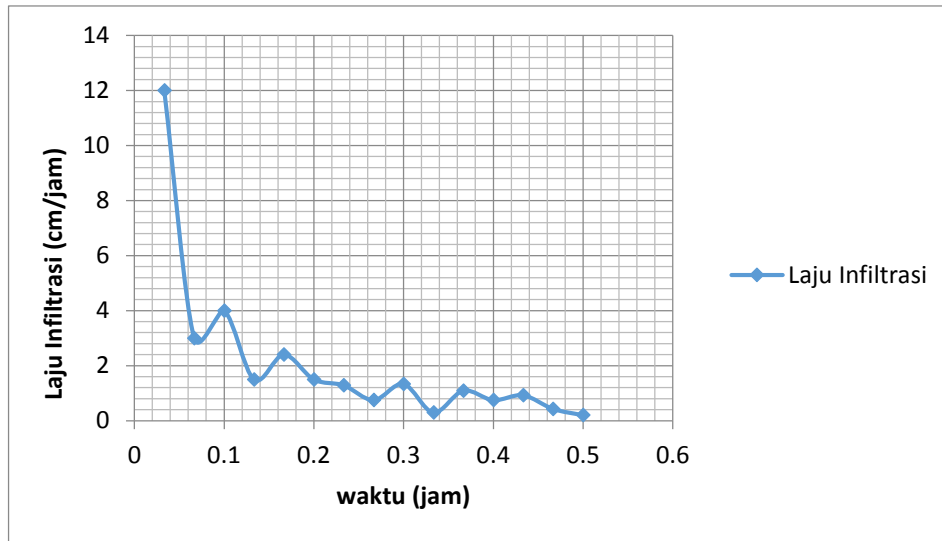
Lampiran B

Berikut data pengukuran dan kurva kapasitas infiltrasi 5 titik hasil penelitian laju infiltrasi di lapangan.

1. Titik lokasi penelitian 1
 - a. Tanggal pengujian : 4 Februari 2017
 - b. Koordinat : -7.7289, 110.2006
 - c. Vegetasi/tanaman (existing) : Rumput dan tanaman tebu

Tabel 4.3 Hasil pengukuran laju infiltrasi *double ring infiltrometer* lokasi 1

Watu (t) (menit)	Waktu (t) jam	Tinggi Muka Air (cm)	Penurunan (ΔH) (cm)	Laju Infiltrasi (f) (cm/jam)
0	0	1.6	0	0
2	0.0333	2	0.4	12
4	0.0667	2.2	0.2	3
6	0.1	2.6	0.4	4
8	0.1333	2.8	0.2	1.5
10	0.1667	3.2	0.4	2.4
12	0.2	3.5	0.3	1.5
14	0.2333	3.8	0.3	1.285
16	0.26667	4	0.2	0.75
18	0.3	4.4	0.4	1.333
20	0.3333	4.5	0.1	0.3
22	0.3667	4.9	0.4	1.0909
24	0.4	5.2	0.3	0.75
26	0.4333	5.6	0.4	0.9230
28	0.4667	5.8	0.2	0.4285
30	0.5	5.9	0.1	0.2



Gambar B.1 Grafik laju infiltrasi lapangan lokasi 1

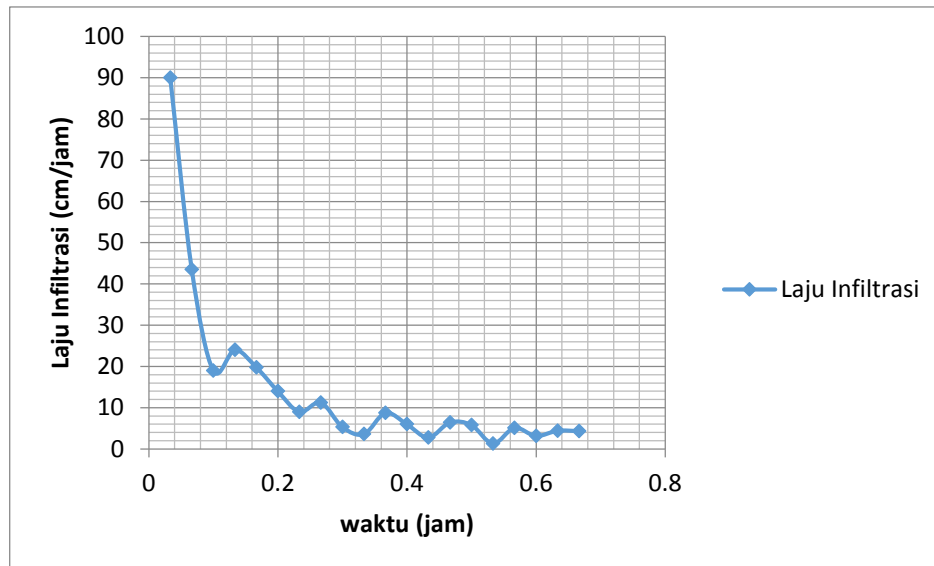
2. Titik lokasi penelitian 1

- a. Tanggal pengujian : 4 Februari 2017
- b. Koordinat : -7.7292 , 110.2004
- c. Vegetasi/tanaman (existing) : Rumput dan tanaman tebu

Tabel 4.3 Hasil pengukuran laju infiltrasi *double ring infiltrometer* lokasi 2

Watu (t) (menit)	Watu (t) (jam)	Tinggi Muka Air (cm)	Penurunan (ΔH) (cm)	Laju Infiltrasi (f) (cm/jam)
0		2	0	
2	0.0333	5	3	90
4	0.0667	7.9	2.9	43.5
6	0.1	9.8	1.9	19
8	0.1333	13	3.2	24
10	0.1667	16.3	3.3	19.8
12	0.2	19.1	2.8	14
14	0.2333	21.2	2.1	9
16	0.2667	24.2	3	11.25
18	0.3	25.8	1.6	5.333
20	0.333	27	1.2	3.6
22	0.3667	30.2	3.2	8.727
24	0.4	32.6	2.4	6
26	0.4333	33.8	1.2	2.769
28	0.4667	36.8	3	6.428
30	0.5	39.7	2.9	5.8
32	0.533	40.4	0.7	1.3125
34	0.5667	43.3	2.9	5.117

36	0.6	45.2	1.9	3.1667
38	0.633	48	2.8	4.4210
40	0.6667	50.9	2.9	4.35



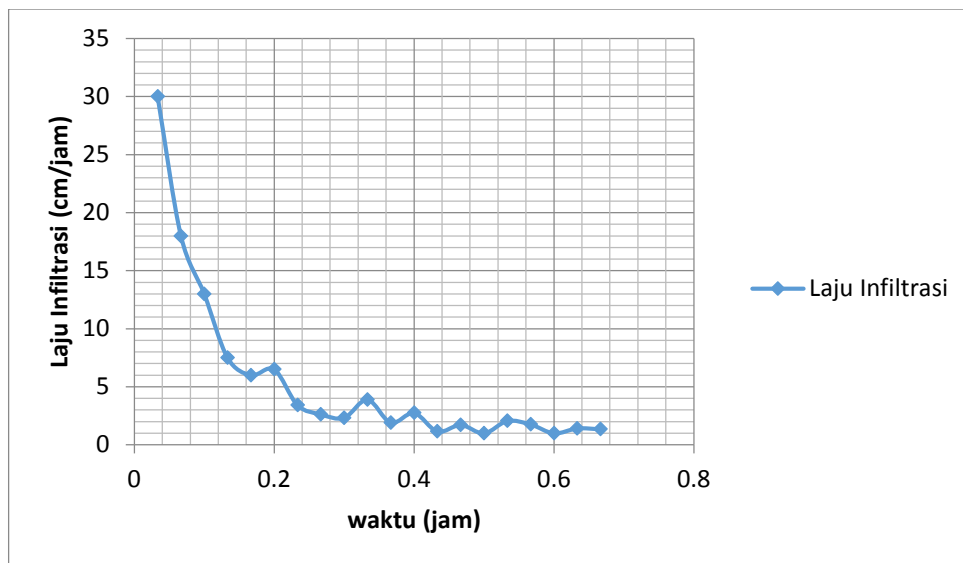
Gambar B.2 Grafik laju infiltrasi lapangan lokasi 2

3. Titik lokasi penelitian 1
 - a. Tanggal pengujian : 4 Februari 2017
 - b. Koordinat : -7.729289 , 110.200332
 - c. Vegetasi/tanaman (existing) : Rumput dan tanaman tebu

Tabel 4.3 Hasil pengukuran laju infiltrasi *double ring infiltrometer* lokasi 3

Waktu (t) (menit)	Waktu (t) (jam)	Tinggi Muka Air (cm)	Penurunan (ΔH) (cm)	Laju Infiltrasi (cm/jam)
0	0	1	0	0
2	0.0333	2	1	30
4	0.0667	3.2	1.2	18
6	0.1	4.5	1.3	13
8	0.1333	5.5	1	7.5
10	0.1667	6.5	1	6
12	0.2	7.8	1.3	6.5
14	0.233	8.6	0.8	3.428
16	0.2667	9.3	0.7	2.625
18	0.3	10	0.7	2.333
20	0.333	11.3	1.3	3.9
22	0.3667	12	0.7	1.909

24	0.4	13.1	1.1	2.75
26	0.4333	13.6	0.5	1.153
28	0.4667	14.4	0.8	1.714
30	0.5	14.9	0.5	1
32	0.533	16	1.1	2.062
34	0.5667	17	1	1.7647
36	0.6	17.6	0.6	1
38	0.633	18.5	0.9	1.4210
40	0.6667	19.4	0.9	1.35



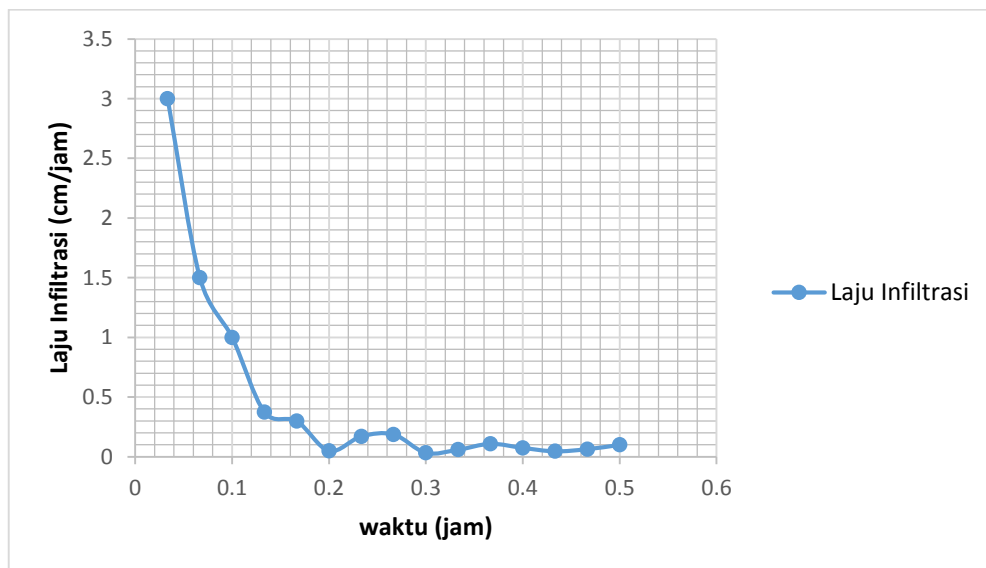
Gambar B.3 Grafik laju infiltrasi lapangan lokasi 3

4. Titik lokasi penelitian 1
- Tanggal pengujian : 4 Februari 2017
 - Koordinat : -7.728725 , 110.200446
 - Vegetasi/tanaman (existing) : Rumput dan tanaman tebu

Tabel 4.3 Hasil pengukuran laju infiltrasi *double ring infiltrometer* lokasi 4

Watu (t)	Waktu (t)	Tinggi Muka Air	Penurunan (ΔH)	Laju Infiltrasi (f)
(menit)	jam	(cm)	(cm)	(cm/jam)
0	0	0	0	0
2	0.0333	0.1	0.1	3
4	0.0667	0.2	0.1	1.5
6	0.1	0.3	0.1	1
8	0.133	0.35	0.05	0.375

10	0.1667	0.4	0.05	0.3
12	0.2	0.41	0.01	0.05
14	0.233	0.45	0.04	0.171
16	0.2667	0.5	0.05	0.1875
18	0.3	0.51	0.01	0.033
20	0.333	0.53	0.02	0.06
22	0.3667	0.57	0.04	0.1090
24	0.4	0.6	0.03	0.075
26	0.433	0.62	0.02	0.0461
28	0.4667	0.65	0.03	0.0642
30	0.5	0.7	0.05	0.1



Gambar B.4 Grafik laju infiltrasi lapangan lokasi 4

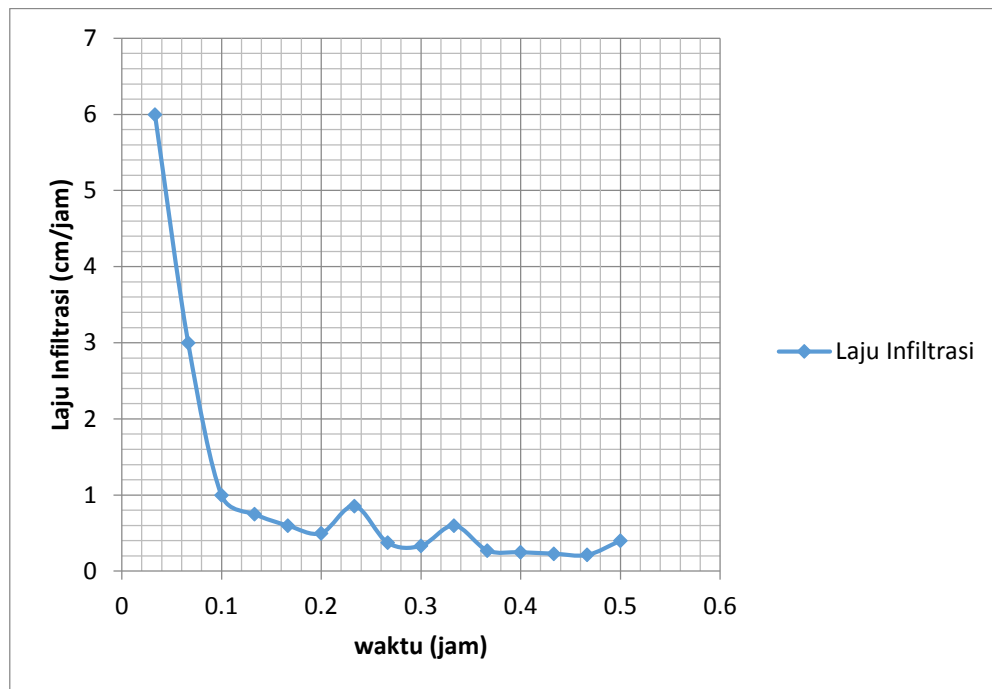
5. Titik lokasi penelitian 5

- a. Tanggal pengujian : 4 Februari 2017
- b. Koordinat : -7.7286713, 110.2002592.
- c. Vegetasi/tanaman (existing) : Rumput dan tanaman tebu

Tabel 4.3 Hasil pengukuran laju infiltrasi *double ring infiltrometer* lokasi 5

Waktu (t)	Waktu (t)	Tinggi Muka Air	Penurunan (ΔH)	Laju Infiltrasi (f)
(menit)	(jam)	(cm)	(cm)	(cm/jam)
0	0	3.3	0	0
2	0.0333	3.5	0.2	6

4	0.0667	3.7	0.2	3
6	0.1	3.8	0.1	1
8	0.133	3.9	0.1	0.75
10	0.1667	4	0.1	0.6
12	0.2	4.1	0.1	0.5
14	0.2333	4.3	0.2	0.8571
16	0.2667	4.4	0.1	0.375
18	0.3	4.5	0.1	0.3333
20	0.333	4.7	0.2	0.6
22	0.367	4.8	0.1	0.2727
24	0.4	4.9	0.1	0.25
26	0.433	5	0.1	0.2307
28	0.4667	5.1	0.1	0.2142
30	0.5	5.3	0.2	0.4

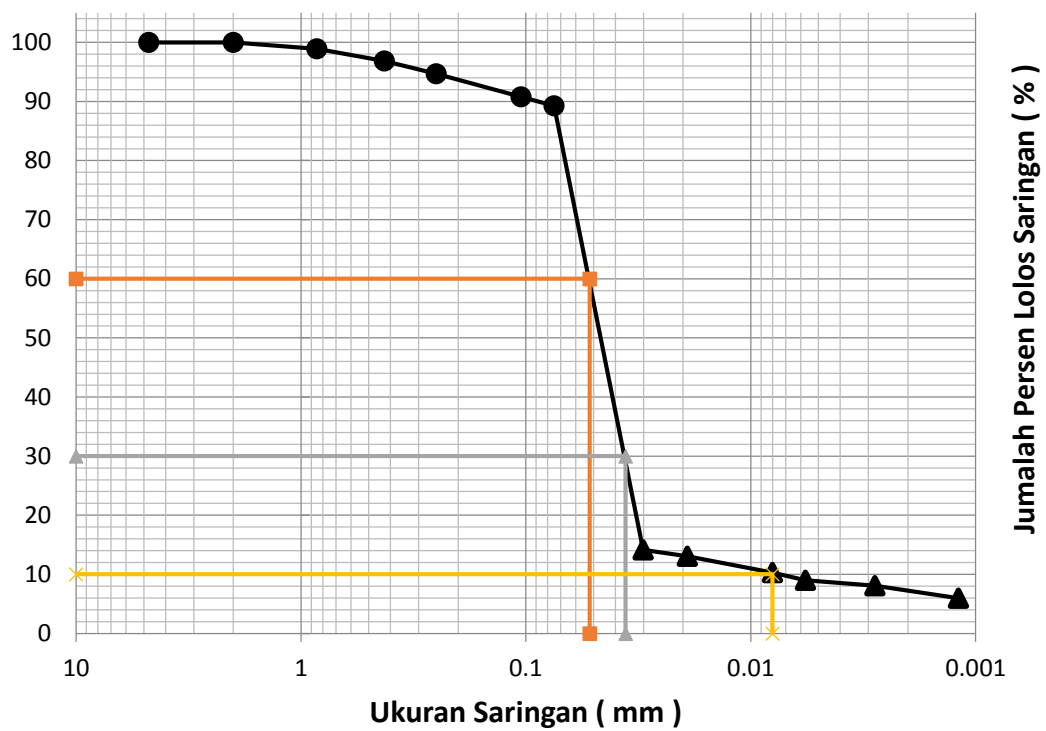


Gambar B.5 Grafik laju infiltrasi lapangan lokasi 5

Lampiran C

Tabel C.1 Persen lolos saringan tanah lokasi 1

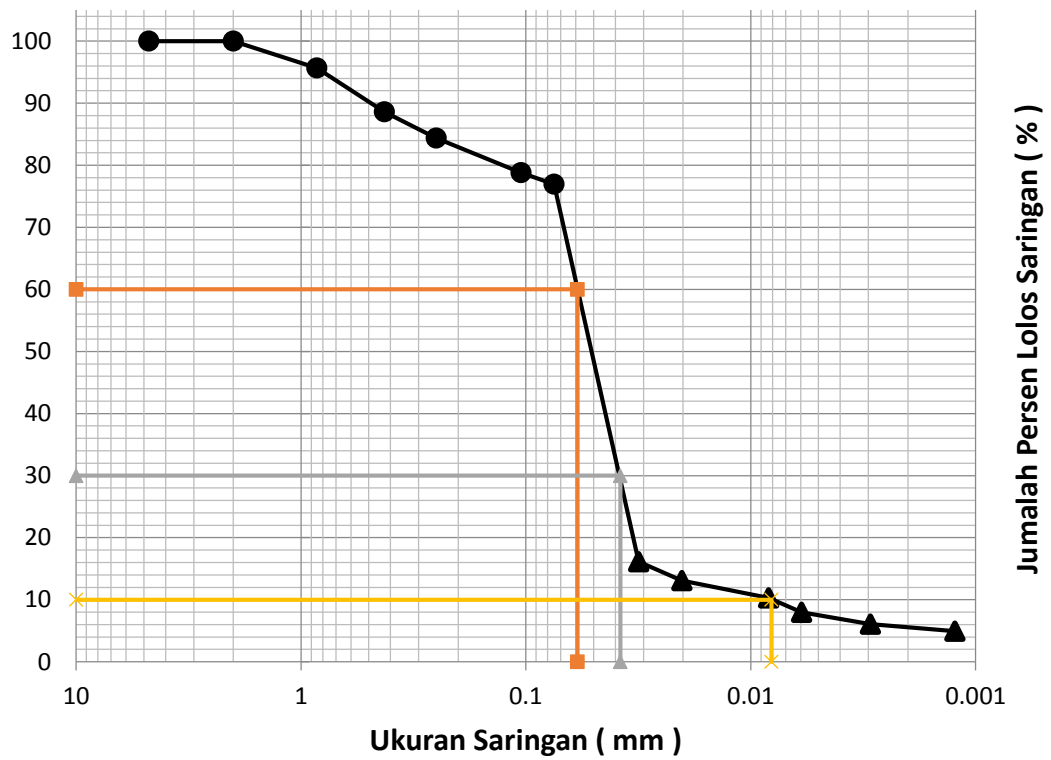
nomor saringan ASTM	ukuran butir (mm)	berat tertahan pada saringan (g)	persen berat tertahan pada saringan (%)	persen lolos saringan (%)
#4	4.47	0	0	100
10	2	0	0	100
20	0.85	0.7	1.08	98.92
40	0.425	1.34	2.06	96.86
60	0.25	1.41	2.17	94.69
140	0.105	2.55	3.92	90.77
200	0.075	0.98	1.51	89.26
pan	<0,075	0.19	0.29	88.97
Jumlah		7.17		



Gambar C.1 Grafik distribusi ukuran butir tanah lokasi 1

Tabel C.2 Persen lolos saringan tanah lokasi 2

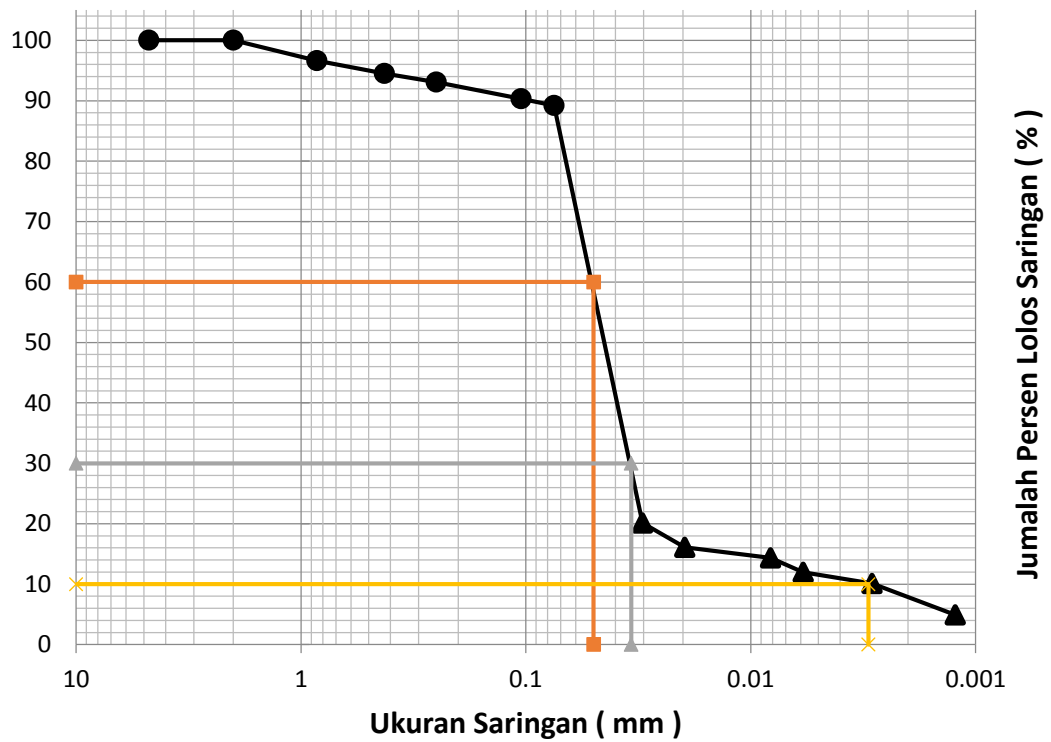
nomor saringan ASTM	ukuran butir (mm)	berat tertahan pada saringan (g)	persen berat tertahan pada saringan (%)	persen lolos saringan (%)
#4	4.47	0	0	100
10	2	0	0	100
20	0.85	2.82	4.34	95.66
40	0.425	4.6	7.08	88.58
60	0.25	2.75	4.23	84.35
140	0.105	3.6	5.54	78.82
200	0.075	1.21	1.86	76.95
pan	<0,075	0.15	0.23	76.72
Jumlah		15.13		



Gambar C.2 Grafik distribusi ukuran butir tanah lokasi 2

Tabel C.3 Persen lolos saringan tanah lokasi 3

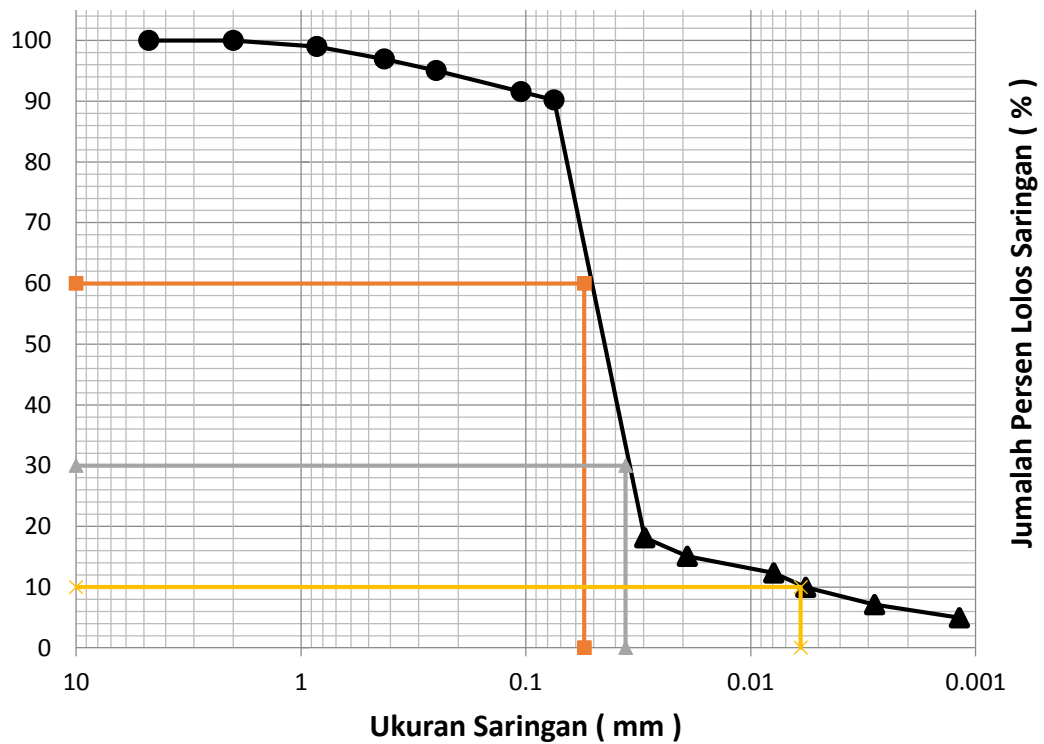
nomor saringan ASTM	ukuran butir (mm)	berat tertahan pada saringan (g)	persen berat tertahan pada saringan (%)	persen lolos saringan (%)
#4	4.47	0	0	100
10	2	0	0	100
20	0.85	2.21	3.40	96.60
40	0.425	1.37	2.11	94.49
60	0.25	0.91	1.40	93.09
140	0.105	1.81	2.78	90.31
200	0.075	0.73	1.12	89.18
pan	<0,075	0.06	0.09	89.09
Jumlah		7.09		



Gambar C.3 Grafik distribusi ukuran butir tanah lokasi 3

Tabel C.4 Persen lolos saringan tanah lokasi 4

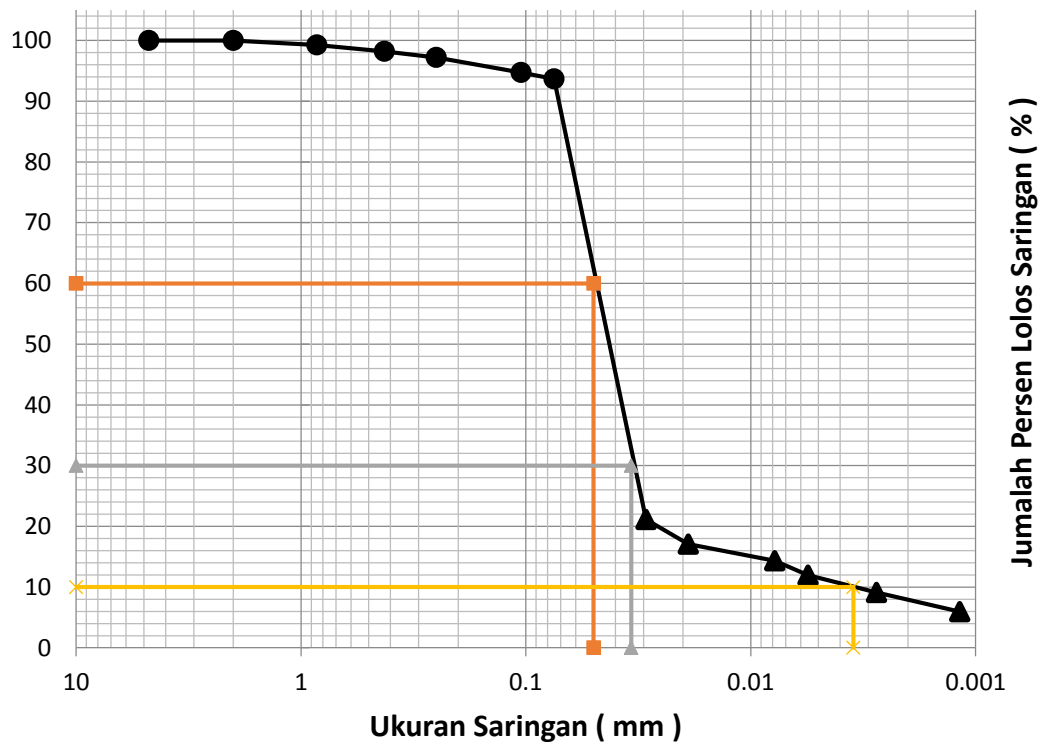
nomor saringan ASTM	ukuran butir (mm)	berat tertahan pada saringan (g)	persen berat tertahan pada saringan (%)	persen lolos saringan (%)
#4	4.47	0	0	100
10	2	0	0	100
20	0.85	0.66	1.02	98.98
40	0.425	1.32	2.03	96.95
60	0.25	1.24	1.91	95.05
140	0.105	2.26	3.48	91.57
200	0.075	0.9	1.38	90.18
pan	<0,075	0.14	0.22	89.97
Jumlah		6.52		



Gambar C.4 Grafik distribusi ukuran butir tanah lokasi 4

Tabel C.5 Persen lolos saringan tanah lokasi 5

nomor saringan ASTM	ukuran butir (mm)	berat tertahan pada saringan (g)	persen berat tertahan pada saringan (%)	persen lolos saringan (%)
#4	4.47	0	0	100
10	2	0	0	100
20	0.85	0.47	0.72	99.28
40	0.425	0.69	1.06	98.22
60	0.25	0.67	1.03	97.18
140	0.105	1.6	2.46	94.72
200	0.075	0.69	1.06	93.66
pan	<0,075	0.1	0.15	93.51
Jumlah		4.22		



Gambar C.5 Grafik distribusi ukuran butir tanah lokasi 5

Lampiran D

Tabel D.1 Hasil uji kadar air tanah lokasi 1

No	Uraian	Satuan	Kedalaman (cm)					
			Sebelum Uji Infiltrasi	10	20	30	40	50
1	Berat cawan Kosong (W1)	g	9.72	9.35	9.43	9.26	9.4	12.93
2	Berat cawan + tanah basah (W2)	g	29.73	29.34	29.45	29.25	29.39	32.94
3	Berat cawan + tanah kering (W3)	g	22.83	21.21	21.29	21.91	22.27	25.68
4	Berat air. $W_w=(W_2-W_3)$	g	6.9	8.13	8.16	7.34	7.12	7.26
5	Berat tanah kering, $W_s=(W_3-W_1)$	g	13.11	11.86	11.86	12.65	12.87	12.75
6	Kadar air, $w=(W_w/W_s) \times 100\%$	%	52.63	68.55	68.80	58.02	55.32	56.94

Tabel D.2 Hasil uji kadar air tanah lokasi 2

No	Uraian	Satuan	Kedalaman (cm)					
			Sebelum Uji Infiltrasi	10	20	30	40	50
1	Berat cawan Kosong (W1)	g	9.43	9.14	9.28	9.23	9.87	9.23
2	Berat cawan + tanah basah (W2)	g	29.42	29.11	29.28	29.24	29.87	29.22
3	Berat cawan + tanah kering (W3)	g	22.95	21.21	21.52	21.97	22.42	21.83
4	Berat air. $W_w=(W_2-W_3)$	g	6.47	7.9	7.76	7.27	7.45	7.39
5	Berat tanah kering, $W_s=(W_3-W_1)$	g	13.52	12.07	12.24	12.74	12.55	12.6
6	Kadar air, $w=(W_w/W_s) \times 100\%$	%	47.86	65.45	63.40	57.06	59.36	58.65

Tabel D.3 Hasil uji kadar air tanah lokasi 3

No	Uraian	Satuan	Benda Uji Lokasi 3					
			0	10	20	30	40	50
1	Berat cawan Kosong (W1)	g	9.3	11.99	9.41	9.26	9.7	9.7
2	Berat cawan + tanah basah (W2)	g	29.3	31.98	29.42	29.26	29.71	29.71
3	Berat cawan + tanah kering (W3)	g	23.06	24.32	22.43	22.47	22.76	22.76
4	Berat air. $W_w=(W_2-W_3)$	g	6.24	7.66	6.99	6.79	6.95	6.95
5	Berat tanah kering, $W_s=(W_3-W_1)$	g	13.76	12.33	13.02	13.21	13.06	13.06
6	Kadar air, $w=(W_w/W_s) \times 100\%$	%	45.35	62.12	53.7	51.4	53.2	53.2

Tabel D.4 Hasil uji kadar air tanah lokasi 4

No	Uraian	Satuan	Kedalaman (cm)					
			Sebelum Uji Infiltrasi	10	20	30	40	50
1	Berat cawan Kosong (W1)	g	9.36	9.12	12.11	9.98	9.16	9.31
2	Berat cawan + tanah basah (W2)	g	29.36	29.12	32.11	29.98	29.16	29.31
3	Berat cawan + tanah kering (W3)	g	22.09	21.59	24.59	22.71	21.87	21.98
4	Berat air. $W_w=(W_2-W_3)$	g	7.27	7.53	7.52	7.27	7.29	7.33
5	Berat tanah kering, $W_s=(W_3-W_1)$	g	12.73	12.47	12.48	12.73	12.71	12.67
6	Kadar air, $w=(W_w/W_s) \times 100\%$	%	57.1	60.4	60.3	57.1	57.4	57.9

Tabel D.5 Hasil uji kadar air tanah lokasi 5

No	Uraian	Satuan	Benda Uji Lokasi 5					
			0	10	20	30	40	50
1	Berat cawan Kosong (W1)	g	9.17	9.48	9.86	9.24	9.57	12.62
2	Berat cawan + tanah basah (W2)	g	29.16	29.48	29.85	29.24	29.57	32.63
3	Berat cawan + tanah kering (W3)	g	22.61	21.92	22.63	22.05	22.35	25.5
4	Berat air. $W_w=(W_2-W_3)$	g	6.55	7.56	7.22	7.19	7.22	7.13
5	Berat tanah kering, $W_s=(W_3-W_1)$	g	13.44	12.44	12.77	12.81	12.78	12.88
6	Kadar air, $w=(W_w/W_s) \times 100\%$	%	48.74	60.8	56.5	56.1	56.49	55.4